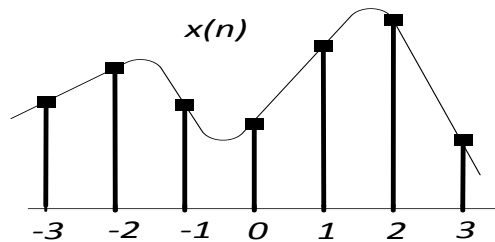
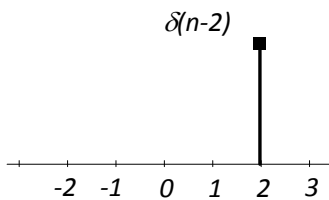


Cyfrowe przetwarzanie sygnałów – filtry cyfrowe



Rys. 1. Sygnał cyfrowy jest ciągiem impulsów z których każdy jest opisany przez swoje położenie i przez wartość



Rys. 2. Impuls na pozycji 2

Do określania pozycji impulsu wykorzystujemy funkcję Diraca w postaci

$$\delta(n-k) = \begin{cases} 1 & n = k \\ 0 & n \neq k \end{cases}$$

Tak więc impuls opisany jest jako

$$x(k) = x(n)\delta(n-k)$$

Gdzie pierwszy składni oznacza wartość impulsu, a drugi jego położenie. Cały sygnał będzie więc opisany jak

$$x(n) = \sum_{k=-\infty}^{\infty} x(k) \delta(n-k)$$

Układy LTI , Odpowiedź impulsowa

Będziemy zajmowali się układami LTI (linear, time invariant – liniowy czasowo niezależny)

Liniowość oznacza że można stosować zasadę superpozycji, a więc

$$f(x_1 + x_2) = y_1 + y_2$$

$$f(cx_1) = cy_1$$

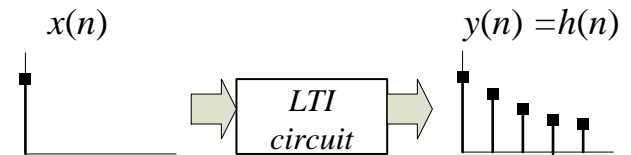
Układ jest niezależny w czasie jeśli przesunięcie w czasie sygnału wejściowego spowoduje równoważne przesunięcie w czasie sygnału wyjściowego. A więc jeśli

$$x(n) = x_1(n - n_o)$$

To

$$y(n) = y_1(n - n_o).$$

Parametrem opisującym jednoznacznie układ LTI jest jego odpowiedź impulsowa $h(n)$, a więc zgodnie z nazwą jest to odpowiedź układu na pojedynczy impuls jednostkowy.



Rys. 3. Odpowiedź impulsowa układu piątego rzędu

Odpowiedź impulsowa opisywana jest przez odpowiednie współczynniki a więc h_1, h_2, h_3 itd./

Splot cyfrowy

Wyobraźmy sobie że chcemy wyznaczyć funkcję F sygnału to znaczy $y(n) = F[x(n)]$ a więc

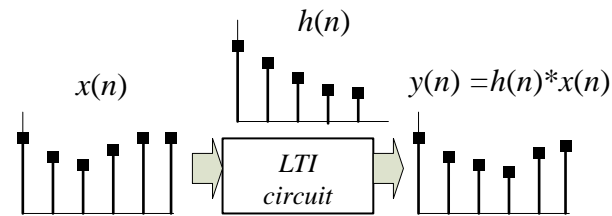
$$y(n) = F \left\{ \sum_{k=-\infty}^{\infty} x(k) \delta(n-k) \right\} = \sum_{k=-\infty}^{\infty} x(k) F \{ \delta(n-k) \}$$

Co możemy zapisać jako

$$y(n) = \sum_{k=-\infty}^{\infty} x(k) h(n-k)$$

Jest to równanie splotu (convolution) a więc równanie pozwalające określić sygnał wyjściowy $y(n)$ układu opisanego przez odpowiedź impulsową $h(n)$.

Możliwe jest też dokonanie operacji odwrotnej rozplotu (deconvolution) czyli określić sygnał wejściowy na podstawie znajomości sygnały wyjściowego i odpowiedzi impulsowej,



Rys. 4. Operacja splotu

Równanie splotu można zapisać w dwóch równoważnych wariantach

$$y(n) = \sum_{k=-\infty}^{\infty} x(k) h(n-k) = x(n) * h(n)$$

lub

$$y(n) = \sum_{k=-\infty}^{\infty} x(n-k) h(k) = h(n) * x(n)$$

Algorytm realizacji splotu

Algorytm realizacji splotu jest relatywnie prosty – składa się z trzech operacji: przesunięcia, mnożenia i dodawania (rys. 5 i 6).

Na wstępie odwracamy funkcję jednostkową $h(n)$ tak żeby h_1 było na początku.

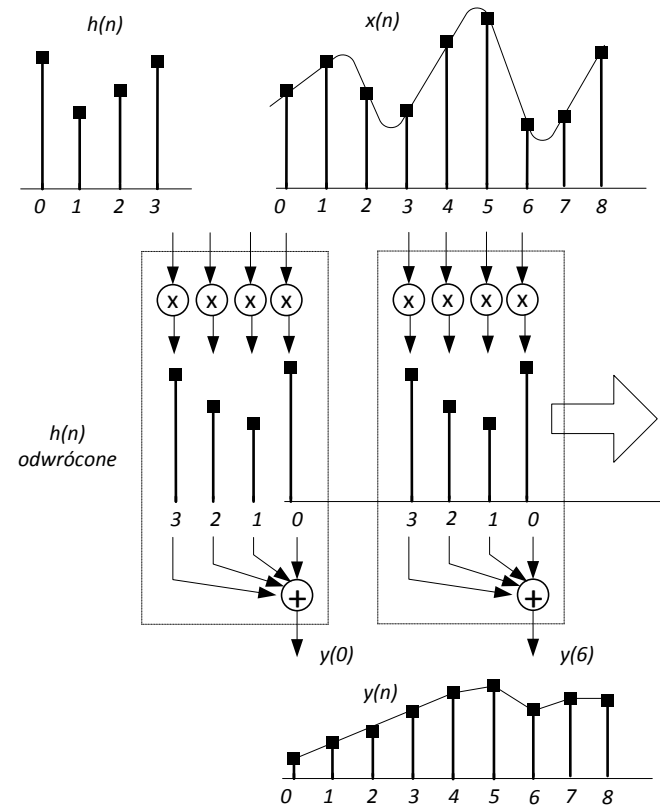
Następnie przesuwamy funkcję $h(n)$ tak aby jej początek trafił na punkt $x(n)$ którego odpowiedź $y(n)$ chcemy wyznaczyć (na rysunku 5 jest to $x(6)$).

Drugi krok to wy mnożamy sąsiadów a więc x_6 przez h_1 , h_5 przez h_2 itd.

Wyniki mnożenia dodajemy i zapisujemy jako odpowiedź $y(6)$.

Następnie przesuwamy $h(n)$ na pozycję 7 i powtarzamy czynności (lub $h(n)$ stoi a przesuwają się danej $x(n)$) – drugi wariant równania splotu.

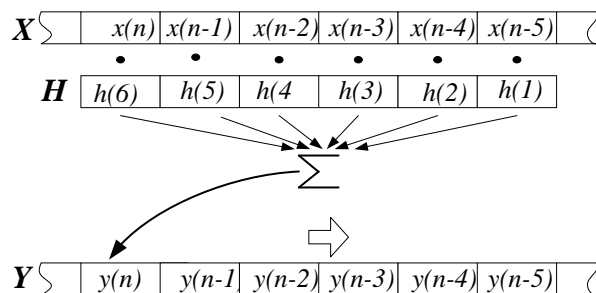
Operacja splotu jest operacją on-line to znaczy wy mnożenie i dodawanie musi być zrealizowane nim nadejdzie nowy impuls $x(n)$.



Rys.5. Algorytm realizacji splotu

Transformata Z

Rys.6. Przedstawiony na rys. 5 algorytm można inaczej przedstawić jako operacje na rejestrach – bieżącym $x(n)$, stałym $h(n)$ i bieżącym $y(n)$



A więc

$$y(n) = \sum h(k) x(n-k) = h_0 x(n) + h_1 x(n-1) + h_2 x(n-2) \dots$$

Operację przesunięcia dobrze ilustruje transformata Z gdzie

$$Z\{x(n-1)\} = z^{-1} X(z)$$

Lub ogólnie

$$Z\{x(n-m)\} = z^{-m} X(z)$$

A więc nasze równanie spłotu

$$y(n) = \sum_{k=0}^{\infty} h(k) x(n-k) = h(n) * x(n)$$

$$h(n) = \sum_{k=0}^{\infty} h(k) \delta(n-k)$$

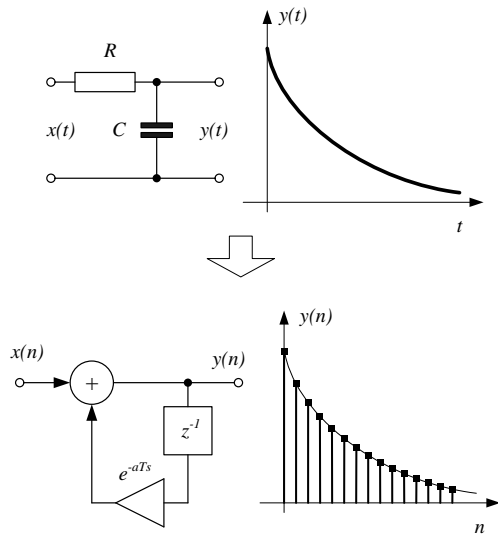
Można zapisać w prostszej postaci:

$$Y(z) = H(z) X(z)$$

$$H(z) = \sum_{k=0}^{\infty} h_k z^{-k}$$

Zasada działania filtru cyfrowego

Rys. 7. Cyfrowy odpowiednik filtra analogowego RC



Widzimy więc że odpowiednikiem filtra RC jest operacja przesunięcia z^{-1} , mnożenia i dodania a więc jest to opisana wcześniej operacja splotu.

A więc operację filtrowania opisuje równanie splotu

$$Y(k) = H(k) \cdot X(k)$$

Gdzie
$$H(z) = \frac{Y(z)}{X(z)} = \sum a(k) z^{-k}$$

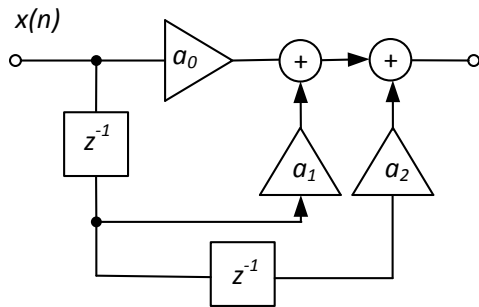
Lub
$$H(z) = \sum_{k=0}^{N-1} a(k) z^{-k} = a_0 + a_1 z^{-1} + a_2 z^{-2} + \dots$$

Lub
$$y(n) = \sum_{k=0}^{N-1} a(k) x(n-k) = a_0 x(n) + a_1 x(n-1) + a_2 x(n-2) + \dots$$

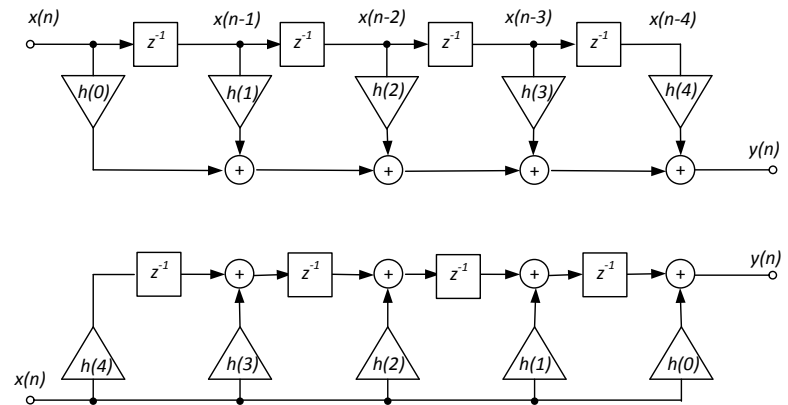
Gdzie a_0, a_1, a_2 itd. Współczynniki filtru.

Filtry SOI (FIR)

Rys. 8. Zwiokrotniając operację przedstawioną na rys. 7 otrzymujemy filtr wyższego rzędu, tu filtr drugiego rzędu na rys. 9 filtr czwartego rzędu.



Rys. 9. Filtr SOI czwartego rzędu

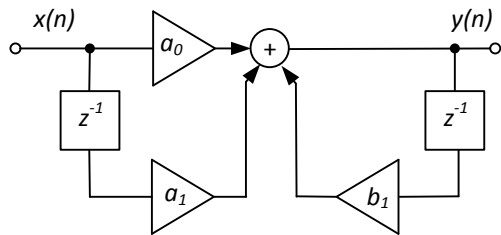


Przedstawiony na rys. 8, 9 filtr nosi nazwę: skończona odpowiedź impulsowa SOI (finite impulse response FIR)

Filtry NOI (IIR)

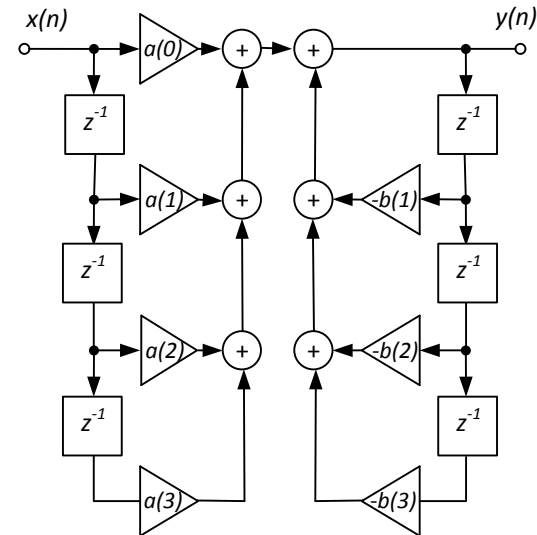
Rys.10. Obok przedstawionego wcześniej filtra SOI stosowane są też filtry NOI (nieskończona odpowiedź impulsowa lub infinite impulse response IIR).

W filtrach tych sygnał pobierany jest nie tylko z wejścia ale i z wyjścia:



Filtry te mogą być bardziej skuteczne niż filtry SOI ale kosztem możliwości wzbudzenia się (ponieważ istnieje tu sprzężenie zwrotne) stąd nazwa.

Rys. 11. Filtr NOI czwartego rzędu - mamy jakby dwa filtry SOI z których jeden pobiera sygnał z wejścia, drugi z wyjścia.



Stabilność filtra NOI

Przedstawione wcześniej równanie na odpowiedź impulsową zmienia się na

$$H(z) = \frac{Y(z)}{X(z)} = \frac{\sum_{k=0}^{N-1} a(k)z^{-k}}{1 + \sum_{k=1}^M b(k)z^{-k}}$$

lub

$$H(z) = \frac{Y(z)}{X(z)} = \frac{a_1 z^{-1} + a_2 z^{-2} + a_3 z^{-3} + \dots}{1 + b_1 z^{-1} + b_2 z^{-2} + b_3 z^{-3} + \dots}$$

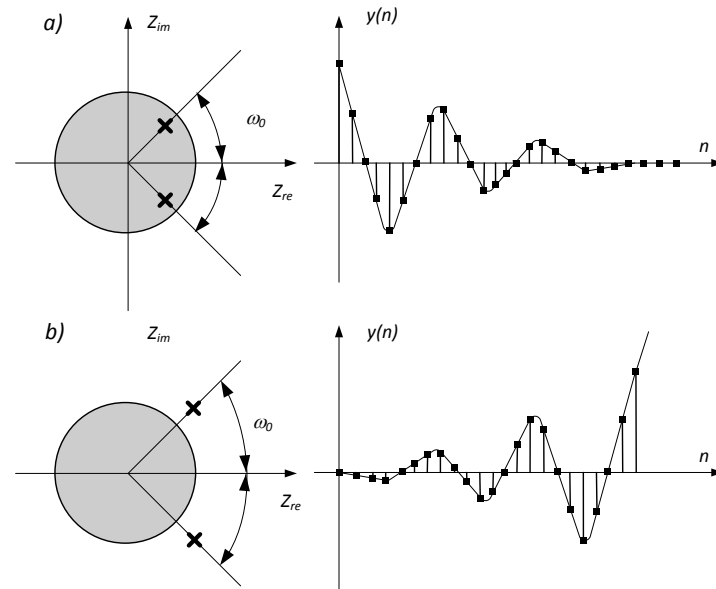
Pojawia się więc mianownik który może przyjmować wartości zerowe co oznacza wzbudzenie się układu.

Powyższe równanie można zapisać w postaci

$$H(z) = \frac{(z - z_1)(z - z_2)(z - z_3)\dots}{(z - p_1)(z - p_2)(z - p_3)\dots}$$

Gdzie p_1, p_2, p_3 oznaczają bieguny funkcji kiedy przyjmuje ona zero

Rys. 12 W przypadku filtra NOI konieczna jest więc sprawdzenie warunków stabilności. Jeśli przedstawimy $H(z)$ na płaszczyźnie zespolonej to to układ jest stabilny jeśli bieguny znajdują się wewnątrz koła jednostkowego -



Przykład projektu filtru

Rozpatrzmy przykład filtru który z sygnału 50 mV i 10 Hz usuwa zakłócenia 15 mV i 50 Hz.

W tym celu obliczamy skrypt Matlaba o postaci:

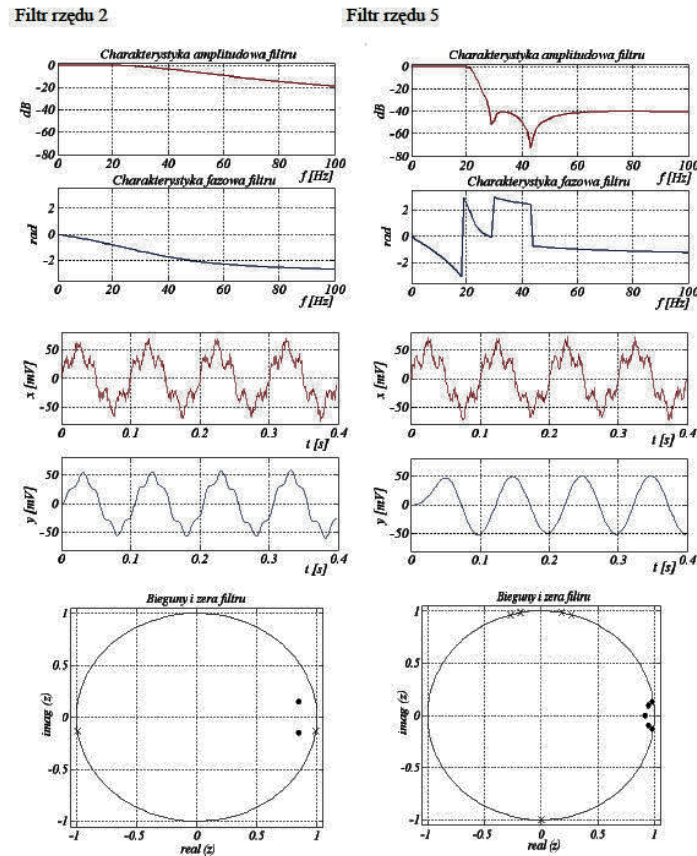
$[B,A] = \text{ellip}(nf, rp, rs, fzn, \text{low})$ – co oznacza – filtr eliptyczny dolnoprzepustowy „low”, rzędu nf, z zafalowaniem rs, o częstotliwości znamionowej fzn. Otrzymujemy odpowiednie współczynniki A i B:

$$A = [1,0000 \quad -4,7646 \quad 9,1057 \quad -8,7239 \quad 4,1898 \quad -0,8069]$$

$$B = [0,0035 \quad -0,0100 \quad 0,0066 \quad 0,0066 \quad -0,0100 \quad 0,0035]$$

Charakterystyki obliczonego filtru drugiego i piątego rzędu przedstawia rys. 13

Rys. 13. Rezultat projektu filtru



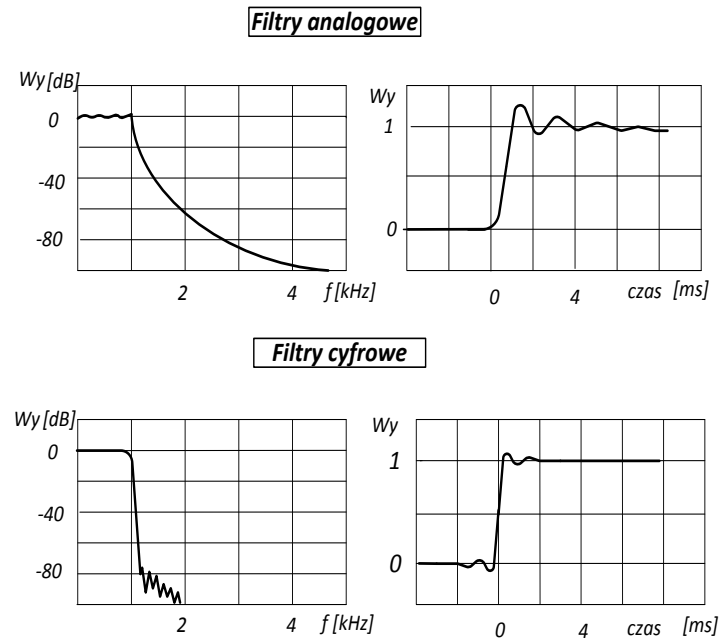
Porównanie filtru analogowego i cyfrowego

Filtr analogowy rzadko bywa wyższego rzędu niż 5. Ograniczeń tych nie ma filtr cyfrowy gdzie rząd filtru zależy tylko o szybkości procesora. W książce Smitha porównano charakterystyki częstotliwościowe i czasowe filtru analogowego i cyfrowego.

Jak wynika z rys. 14 filtr cyfrowy ma zdecydowanie bardziej stromą charakterystykę amplitudową i krótsze czasy ustalania się wyniku.

Ale z kolei filtry cyfrowe mają ograniczenia częstotliwości pracy (częstotliwość próbkowania przetwornika A/D) jak i dynamiki (liczba bitów przetwornika A/D)

Rys. 14. Porównanie charakterystyk filtru.



Filtry adaptacyjne

Filtry cyfrowe w porównaniu z analogowymi mają jeszcze jedną istotną cechę - jest to w zasadzie tylko software.

Właściwości filtru można więc łatwo on-line zmieniać. To stworzyło możliwość projektowania filtrów adaptacyjnych które wg. Określonego algorytmu dobierają sobie współczynniki.

Jednym z takich filtrów jest np. przedstawiony na rys. 15 filtr Wienera używany powszechnie do usuwania szumu (algorytm adaptacyjny tak ustala współczynniki filtru) żeby usuwał on część sygnału skorelowanego z szumem).

Rys. 15. Przykład adaptacyjnego filtru Wienera

